

## ເວັບສາສຕ່ຽມສັນຍ

# ມີຕິຂອງກະດູກແອກຊືສຂອງຄນໄທຢທີສັມພັນຮົກການຝ່າຕັດ posterior atlantoaxial transarticular screw fixation

ທ່ານ້ອຍ ເຕະພົງຄໍວາຮ້າຍ\* ບຈານ້ອຍ ຂາລິຕຸຈິວງ໌\*  
ສມຄັກດີ ຄຸປຕິນິວົດຕໍ່ຍຸກລູກ\* ພິມູລູຍ ອິທີອະວິວົງຄໍ\*

Tejapongvorachai T, Chavalitrujivong B, Kuptniratsaikul S, Ittaravivong P. Anatomical parameters of  $C_2$  pedicle in the transarticular  $C_{1-2}$  screw fixation technique. Chula Med J 1999 Sep; 43(9): 683 - 90

- Objective** : To study the dimensions of the pedicles of the axis
- Setting** : Department of Anatomy, Siriraj Hospital
- Research design** : Descriptive study
- Subjects** : 40 Thai male and 40 Thai female dried bones of the axis
- Method** : The pedicle width, height and the medial angle of the facet pedicle complex were measured by digital calipers and goniometer.
- Results** : The pedicle width was  $7.94 \pm 1.57$  mm in males and  $6.86 \pm 1.51$  mm in females, the pedicle height was  $6.53 \pm 1.33$  mm in males and  $5.70 \pm 1.11$  mm in females. The pedicle width and the pedicle height in males were significantly higher, whereas the medial angle of the facet pedicle complex was  $14.05^\circ \pm 1.95^\circ$  in males and  $13.72^\circ \pm 1.92^\circ$  in females which were not statistically significantly different.
- Conclusions** : The pedicle sizes of the axis in Thai people are larger in males and about 4 % were not suitable for the standard screw insertion. The trajeculation of the screw should be medially about 10 degrees.
- Key words** : Pedicles of the axis, Transarticular  $C_{1-2}$  screw.

Reprint request : Tejapongvorachai T, Department of Orthopedic, Faculty of Medicine,  
Chulalongkorn University, Bangkok 10330, Thailand.

Received for publication. July 3, 1999.

\*ການວິຫານອົງໂປດິກສ ຄະນະແພທຍສາສຕ່ຽມ ຈຳກຳລັງກຽມມາຮັກການທະນາຄານ

ทวีชัย เตชะพงศ์วรรชัย, บรรชัย ชวัลิตธุจิวงศ์, สมศักดิ์ คุปต์นิรัติศัยกุล, พิบูลย์ อิทธิระวิวงศ์.  
มิติของกระดูกแอกซิสของคนสัมพันธ์กับการผ่าตัด posterior atlantoaxial transarticular screw fixation. จุฬาลงกรณ์เวชสาร 2542 ก.ย; 43(9): 683-90

- วัตถุประสงค์** : เพื่อศึกษามิติของ pedicle ของกระดูกคอปล้องที่ 2
- สถานที่ทำการศึกษา** : ภาควิชากายวิภาคศาสตร์ คณะแพทยศาสตร์ ศิริราชพยาบาล
- รูปแบบการวิจัย** : การศึกษาเชิงพรรณนา
- ผู้ป่วยที่ได้ทำการศึกษา** : การศึกษานี้ได้ทำการวัดมิติของกระดูกคอปล้องที่ 2 จำนวน 80 ชิ้น เป็นเพศชาย 40 ชิ้น และเพศหญิง 40 ชิ้น
- วิธีการศึกษา-วัดผล** : ทำการวัดด้วยเครื่องวัด digital caliper และ goniometer
- ผลการศึกษา** : ค่า pedicle width มีค่าเฉลี่ย  $7.94 \pm 1.57$  มม. ในเพศชายและ  $6.86 \pm 1.51$  ในเพศหญิง, ค่า pedicle height มีค่าเฉลี่ย  $6.53 \pm 1.33$  มม. ในเพศชาย และ  $5.70 \pm 1.11$  มม. ในเพศหญิง ค่า medial angle ของ facet pedicle complex มีค่าเฉลี่ย  $14.05^\circ \pm 1.95^\circ$  ในเพศชาย และ  $13.72^\circ \pm 1.92^\circ$  ในเพศหญิง ค่า pedicle width และ height ในผู้ชาย ถูกลow ในผู้หญิง ค่า medial angle ของ facet pedicle complex ไม่แตกต่างกันในเพศชายและเพศหญิง และไม่พบความแตกต่างระหว่างข้างซ้าย และข้างขวาอย่างมีนัยสำคัญทางสถิติ
- วิจารณ์และสรุป** : ขนาด pedicles ของกระดูก axis ในคนไทยเพศชายใหญ่กว่าในเพศหญิง และมีประมาณ 4 % ที่ไม่เหมาะที่จะใช้ขนาดสกุนมาตราฐานในการผ่าตัด นอกจากนี้แนวการใส่สกรูควรเอียงเข้าในประมาณ 10 องศา

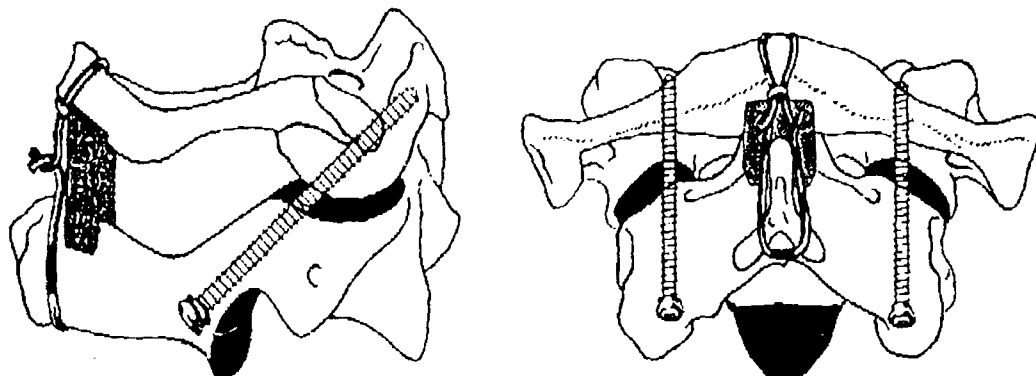
ในการผ่าตัดรักษา atlantoaxial instability วิธีที่เป็นมาตรฐานคือวิธี Posterior wiring ของ Gallie<sup>(1)</sup> Brooks and Jenkins<sup>(2)</sup> แต่ปัญหานในการทำ posterior wiring ได้แก่ การไม่มี C<sub>1</sub> posterior arch (จาก laminec-tomy, congenital anomalies, trauma, neoplasm, infection หรือ rheumatoid arthritis) canal compromise, posterior subluxation หรือ congenital odontoid anomalies ในกรณีเช่นนี้เราสามารถที่จะเลือกทำผ่าตัดโดยวิธีอื่น ๆ เช่น Occiput - C<sub>2</sub> fusion, anterior fusion, anterolateral transarticular screw fixation และ posterior transarticular screw fixation

ปี ค.ศ. 1987 Magerl และ Seemann ได้เสนอวิธีการทำ posterior transarticular screw fixation ใน atlantoaxial joint ซึ่งให้ immediate rigid fixation โดยไม่จำเป็นต้องใช้ rigid external orthosis มีรายงานการทดสอบความแข็งแรงของ posterior transarticular screw fixation ใน C<sub>1</sub> - C<sub>2</sub> เช่น Hanson และคณะ<sup>(3)</sup> Montesano และคณะ<sup>(4)</sup> พบว่าการทำ posterior C<sub>1</sub>-C<sub>2</sub> transarticular screw fixation จะแข็งแรงมากกว่า Gallie wiring, Grob และคณะ<sup>(5)</sup> ทดสอบ biomechanic ของ posterior atlantoaxial fusion 4 วิธี คือ Gallie, Brooks, Magerl และ Halifax พบว่า Gallie มี torsional stiffness น้อยกว่า อีก 3 วิธี อย่างมีนัยสำคัญทางสถิติ ในขณะที่วิธีของ Magerl มี torsional stiffness สูงที่สุด

การทำ posterior transarticular screw fixation เป็นทางเลือกหนึ่งในการรักษา Atlantoaxial instability เช่น rheumatoid arthritis, congenital abnormalities, odontoiodectomy, incompetency ของ posterior elements, nonunion ของ Type II odontoid fracture, intolerance ต่อ halo orthosis และ salvage procedure สำหรับ atlantoaxial nonunion<sup>(6,7)</sup> ซึ่ง posterior transarticular screw fixation มีข้อดีในเรื่อง fusion rate และ mechanical strength ที่ดีกว่า รวมทั้งเป็นวิธีที่ปลอดภัยเมื่อเปรียบเทียบกับวิธีผ่าตัด posterior wiring<sup>(8)</sup> อีก 1

สำหรับเทคนิคการทำ posterior transarticular screw fixation ใน C<sub>1</sub> - C<sub>2</sub> โดยวิธีของ Magerl และ Seemann จะกล่าวพอสั้นๆ ไป罊 (ดูรูป 1)

หลังจากผู้ป่วยได้รับการทำ general anesthesia จัดผู้ป่วยให้นอนอยู่ในท่าครัว โดยใช้ head fixation device เพื่อให้ axis of rotation อยู่ที่ระดับของ atlanto-occipital joint ดึงให้ cervical spine ส่วนล่างอยู่ในท่า extension และศีรษะอยู่ในท่า flexion ใช้ extensive skin incision เพื่อให้มีพื้นที่สำหรับ drill ก่อนจะใส่ screw จะต้องจัดให้ atlantoaxial joint เข้าที่ดีก่อน โดย lateral mass ของกระดูก atlas และ axis จะต้องอยู่ในแนวเดียวกันจากภาพรังสีด้านหน้าหลัง และ posterior arch ของ atlas และ axis อยู่ในแนวเดียวกันจากภาพรังสีด้านข้าง



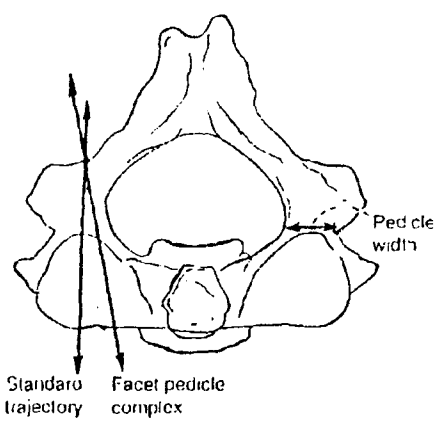
รูปที่ 1

รวมทั้ง anterior arch ของ atlas จะต้องอยู่ห่างจาก odontoid process ของ axis ไม่เกิน 2 มม. สำหรับ insertion point ของ screw จะอยู่ทาง dorsal ของกระดูก axis โดยอยู่ร้อยละของ lamina กับ articular mass จากกระดูกด้วย drill bit ขนาด 2.0 มม. โดยใช้ fluoroscope ช่วย เพื่อหลีกเลี่ยง vertebral artery ทาง lateral และ structure ใน spinal canal ทาง medial ให้แนวของ drill bit อยู่ในแนว sagittal โดยผ่าน isthmic part ของกระดูก axis ผ่าน atlantoaxial joint ไปกระดูก atlas ประมาณ กึ่งกลางของ articular process ใส่ AO cortical screw ขนาด 3.5 มม. หลังจากนั้นใส่ bone graft ระหว่าง arch ของกระดูก atlas กับ spinous process ของกระดูก axis โดยใช้ wire loop หรือ strong suture

วัตถุประสงค์ของการวิจัยครั้งนี้ เพื่อศึกษาเมตริกของกระดูกคอซี่นที่ 2 (axis) ในคนไทยโดยวัดมิติที่สมมติ กับการทำผ่าตัด posterior transarticular screw

### วัสดุและวิธีการ

ศึกษาจากกระดูกแห้งของกระดูกคอที่ 2 (axis) ที่มีลักษณะปกติ จำนวน 80 ชิ้น เป็นของเพศชาย 40 ชิ้น เพศหญิง 40 ชิ้น อายุของผู้บริจาคกระดูกเมื่อเสียชีวิต 17-87 ปีโดยผู้บริจาคทุกคนมีเชื้อชาติไทย นำกระดูก axis มาวัด โดยใช้ digital caliper และ goniometer ในมิติ ต่าง ๆ ดังต่อไปนี้ (ดูรูป 2)



รูปที่ 2

1. ความกว้างของ pedicle (pedicle width) วัดระยะระหว่างผิวนอกของ pedicle ถึงผิวนอกของ pedicle ที่ระดับของ transverse foramen

2. ความสูงของ pedicle (pedicle height) วัดระยะระหว่างผิวนอกของ pedicle ถึงผิวล่างสุดของ pedicle ที่ระดับของ transverse foramen

3. medial angle ของ facet - pedicle complex คือมุมระหว่าง facet - pedicle complex axis กับเส้นที่ลากผ่านจุดกึ่งกลางของ vertebral body และ spinous process โดยนำข้อมูลมาวิเคราะห์หาค่าเฉลี่ย, ค่าเบี่ยงเบนมาตรฐาน ค่าสูงสุด ค่าต่ำสุด และทดสอบความแตกต่างทางสถิติ ด้วย Unpaired t-test โดยทดสอบที่ระดับความเชื่อมั่นที่  $P < 0.05$

ตารางที่ 1. แสดงค่า PW, PH และ FPC เปรียบเทียบแต่ละข้างในเพศชาย

เพศชาย		Mean	S.D.	MAX	MIN
PW (mm)	Rt	7.65	1.50	10.19	3.36
	Lt	8.23	1.60	11.05	3.45
PH (mm)	Rt	6.28	1.29	9.28	3.24
	Lt	6.78	1.34	9.26	3.43
FPC (Degree)	Rt	13.63	1.71	16	10
	Lt	14.24	1.59	17.5	12

ตารางที่ 2. แสดงค่า PW, PH และ FPC เปรียบเทียบแต่ละข้างในเพศหญิง

เพศหญิง		Mean	S.D.	MAX	MIN
PW (mm)	Rt	6.48	1.59	9.37	3.21
	Lt	7.24	1.35	10.03	2.76
PH (mm)	Rt	5.47	1.17	8.91	2.96
	Lt	5.94	0.99	8.11	2.72
FPC (Degree)	Rt	13.46	1.73	16.5	10
	Lt	13.83	1.95	18	10

### ตารางที่ 3. แสดงค่า PW, PH และ FPC เปรียบเทียบระหว่างเพศชายและเพศหญิง

		Mean	S.D.	MAX	MIN
PW (mm)	M	7.94	1.57	11.05	3.36
	F	6.86	1.51	10.03	2.76
PH (mm)	M	6.53	1.33	9.28	3.24
	F	5.70	1.11	8.91	2.72
FPC (Degree)	M	14.05	1.95	17.5	10
	F	13.72	1.92	18	10

#### หมายเหตุ

PW หมายถึง pedicle width

PH หมายถึง pedicle height

FPC หมายถึง medial angle ของ facet - pedicle complex

#### ผลการทดลอง

อายุของผู้บริจากกระดูกของเพศชาย ตั้งแต่ 19 - 87 ปี เฉลี่ย 46.5 ปี

อายุของผู้บริจากกระดูกของเพศหญิง ตั้งแต่ 17 - 80 ปี เฉลี่ย 35.7 ปี

จากการวัดกระดูก axis จำนวน 80 ราย สามารถแสดงในตาราง ดังนี้

จากการคำนวณทางสถิติ สามารถแปรผลได้ดังนี้

1. ไม่พบความแตกต่างอย่างมีนัยสำคัญทางสถิติ ในแต่ละข้างของทั้ง 3 มิติ เมื่อเปรียบเทียบในเพศเดียวกัน ( $P > 0.05$ )

2. พบรความแตกต่างอย่างมีนัยสำคัญทางสถิติ ในระหว่างเพศชายและเพศหญิง ในค่า PW และ PH ( $P < 0.001$ )

3. ไม่พบความแตกต่างอย่างมีนัยสำคัญทางสถิติ ในระหว่างเพศชายและเพศหญิง ในค่า FPC ( $P > 0.05$ )

จากการวัดพบว่า ค่ามิติของ pedicle (PW, PH) ที่น้อยกว่า 3.5 มม. ในเพศชาย มีจำนวน 5 ค่า ในเพศหญิง จำนวน 8 ค่า และค่าที่น้อยที่สุดเท่ากับ 2.72 มม.

#### วิจารณ์

สาเหตุของ  $C_1 - C_2$  instability มีหลายสาเหตุได้แก่

1. Trauma เช่น odontoid fracture หรือ transverse atlantal ligament rupture

2. Inflammatory arthritis เช่น rheumatoid arthritis, ankylosing spondylitis

3. Os odontoideum

4. Congenital anomalies เช่น skeletal dysplasia with odontoid malformation, inherited ligamentous laxity

5. Neoplasia

เนื่องจาก  $C_1 - C_2$  instability อาจทำให้เกิดผลเสียหายที่รุนแรง การแก้ไขภาวะ instability โดยวิธีการผ่าตัด จึงมีความสำคัญในการรักษา  $C_1 - C_2$  instability ซึ่งมีหลายวิธีดังต่อไปนี้

1. วิธีของ Gallie<sup>(1,9)</sup> และวิธีของ Brooks and Jenkins<sup>(2)</sup> เป็นวิธีมาตรฐานในการรักษา instability แต่พบว่ามี nonunion 3 - 25%<sup>(2,10-14)</sup> เนื่องจาก  $C_1 - C_2$  เป็นข้อที่มีการเคลื่อนไหวมาก มี rotation ได้ถึง 47 degrees และมี flexion - extension ได้ 10 degrees<sup>(15)</sup> การทำผ่าตัดด้วยวิธีดังกล่าวอาจจะควบคุม rotation ได้ไม่พอดังจะนำไปสู่ non - union ได้ถึงแม้การใช้ halo vest หลังผ่าตัดจะเพิ่มอัตรา fusion<sup>(13,16,17)</sup> แต่ปัญหาที่พบได้คือ Pin tract infection<sup>(18)</sup> ส่วน morbidity อื่นของการทำผ่าตัดวิธีนี้ เช่น การสอดคลอดผ่านใต้ lamina อาจเกิดขันตรายต่อ spinal cord ได้<sup>(14,19,20)</sup>

Dickman และคณะ<sup>(6)</sup> ได้รายงานการทำ modified Gallie's technique โดยใช้ wedging iliac graft วางระหว่าง posterior arch ของ  $C_1$  และ  $C_2$  พบร率 89% แต่วิธีนี้ยังต้องสอดลวดผ่านใต้ lamina และหลังผ่าตัด ผู้ป่วยต้องใส่ halo vest เป็นเวลา 12 สัปดาห์

2. lamina clamp system เช่น Halifax clamp<sup>(21,22)</sup> ซึ่งไม่ต้องสอด wire ใต้ lamina ไม่ต้องเสียต่อการที่ลวดจะหลุดหรือขาด แต่วิธีนี้มี fusion rate 80%<sup>(23,24)</sup> จึงไม่เป็นที่แพร่หลาย

3. anterior odontoid screw ใช้ในกรณีที่ไม่มี posterior element ของ  $C_1$  หรือ  $C_2$  มี fusion rate มา กกว่า 90%<sup>(25,26)</sup> วิธีนี้เหมาะสมสำหรับในกรณี odontoid fracture

4. วิธี  $C_1$  -  $C_2$  transarticular screw fixation ของ Magerl และ Seemann จากการทดสอบทาง biomechanic พบร้า วิธีนี้ให้ความแข็งแรงดีกว่าการทำ posterior wiring หรือ laminar clamp ข้อดีของวิธีนี้คือ ไม่ต้อง สอด wire ผ่านใต้ lamina ไม่ต้องใช้ halo fixation หลังผ่าตัด สามารถใช้ในกรณีที่ไม่มี posterior atlantoaxial arch รายงานส่วนใหญ่พบมี fusion rate ประมาณ 95 %<sup>(7,8,27-30)</sup> ในขณะที่ Madawi และคณะได้รายงาน fusion rate 87% เนื่องจากมีผู้ป่วยที่เป็น rheumatoid arthritis และ Revision surgery มากกว่ารายงานอื่น ส่วนข้อแทรกหักที่พบ เช่น malposition ของ screw 0-15%, broken screw 0 - 8%, screw pull out 0 - 18% , vertebral artery injury 0-8%, cranial nerve palsy 0 - 8.3% ซึ่งใน รายงานที่พบ vertebral artery injury ของ Madawi และ คณะ 5 ราย โดย 3 รายมี brisk bleeding อีก 2 ราย มี occlusion ของ artery ซึ่งสัมพันธ์อย่างมีนัยสำคัญกับ การจัดกระดูกได้ไม่ดี ในกรณีที่เกิด vertebral artery injury ที่ข้างใดข้างหนึ่งควรหลีกเลี่ยงที่จะใส่ screw ในอีก ข้าง เพื่อบังกันไม่ให้เกิดข้อแทรกหัก เช่น brainstem stroke<sup>(28)</sup> ไม่มีรายงานการเสียชีวิตที่สัมพันธ์กับการผ่าตัด นี้โดยตรง สำหรับ malposition ของ screw นั้น Grob และคณะ พบร้า วิธีปั๊ปอยเพียง 2 ราย เท่านั้นที่มีปัญหา คือ ทำให้เกิดระคายเคืองต่อ hypoglossal nerve และ inadequate stability แต่ไม่พบ nonunion เพราะฉะนั้น การใส่สกรูทั้ง 2 ข้างอาจจะไม่จำเป็นเสมอไป<sup>(27)</sup> จะเห็น ว่า การผ่าตัด posterior transarticular screw fixation เป็นวิธีที่มีประสิทธิภาพสูง แต่มีโอกาสเสี่ยงต่อการ เกิดข้อแทรกหัก การศึกษานี้จึงเป็นการวัดใหม่ของ กระดูกคอปล้องที่ 2 (axis) ในคนไทย เพื่อเป็นแนวทางใน การเลือกใช้ขนาดของสกรู และแนวทางการใส่สกรูที่ปลอดภัย ที่สุด

จากการศึกษาวัดมิติของกระดูกคอที่ 2 (axis) ค่า pedicle width มีค่าเฉลี่ย  $7.94 \pm 1.57$  มม. ในเพศชาย และ  $6.86 \pm 1.51$  มม. ในเพศหญิง โดยมีค่าน้อยที่สุดใน เพศชาย 3.36 มม. และ 2.76 มม. ในเพศหญิง, ค่า pedicle height มีค่าเฉลี่ย  $6.53 \pm 1.33$  มม. ในเพศชาย และ  $5.70 \pm 1.11$  มม. ในเพศหญิง โดยมีค่าน้อยที่สุด 3.24 มม. ในเพศชายและ 2.72 มม. ในเพศหญิง โดยเพศชายจะมี ค่าเฉลี่ยมากกว่าเพศหญิง อย่างมีนัยสำคัญทางสถิติ ส่วน ค่า medial angle ของ facet pedicle complex มีค่าเฉลี่ย  $14.05^\circ \pm 1.95^\circ$  ในเพศชาย และ  $13.72^\circ \pm 1.92^\circ$  ใน เพศหญิง ซึ่งค่าสูงสุดในเพศชาย  $17.5^\circ$  ในเพศหญิง  $18^\circ$  โดยไม่พบความแตกต่างในค่าเฉลี่ยระหว่างเพศชายและ เพศหญิง และจากการเปรียบเทียบค่ามิติของ pedicle (PW, PH, FPC) ไม่พบความแตกต่างระหว่างข้างซ้ายและ ขวา เมื่อเปรียบเทียบในเพศเดียวกัน

ในการผ่าตัด posterior transarticular screw fixation ของ  $C_1$  -  $C_2$  โดยวิธีของ Magerl จะใช้ cortical screw ขนาด 3.5 มม. ซึ่งผู้รายงานเห็นว่า อาจจะมีขนาด ใหญ่ เกินไปสำหรับคนไทยบ้าง คน จากการวัดมิติของ pedicle พบร้า ขนาด pedicle ( PW, PH) ที่เล็กกว่า 3.5 มม. มี 4.06 % โดยเท่ากับ 3.13 % ในเพศชายและ 5 % ในเพศหญิง ซึ่งผู้ป่วยกลุ่มนี้ควรใช้ screw ที่มีขนาด เล็กกว่า 3.5 มม. หรือควรจะทราบขนาดของ pedicle ของกระดูก axis โดยการตรวจด้วย CT Scan ทุกรายเพื่อ เป็นแนวทางในการเลือกขนาดของสกรูก่อนการผ่าตัด หรือ อาจจะใช้สกรู ขนาด 2.7 มม. สำหรับคนไทยทุกรายแทน ขนาด 3.5 มม. แต่การใช้สกรูที่มีขนาดเล็กลง อาจจะมี ความแข็งแรงไม่เพียงพอจึงอาจต้องทำการศึกษาใน ด้าน biomechanic ก่อน สำรวจการใส่สกรูในแนว Sagittal จาก  $C_2$  ไปยัง  $C_1$  นั้น โดยวิธีมารฐานจะใช้แนว Sagittal  $0^\circ$  แต่ผู้รายงานเห็นว่า ควรจะใช้มุมเอียงเข้ามาทางด้านใน เล็กน้อยประมาณ  $10^\circ$  (โดยค่า medial angle ของ facet pedicle complex ที่วัดได้ประมาณ  $14^\circ$ ) ซึ่งจะช่วยหลีก เลี่ยงอันตรายต่อ vertebral artery รวมทั้งสกรูจะเข้า lateral mass ของ  $C_1$  ซึ่งส่วนใหญ่อยู่ทางด้านในได้ดียิ่งขึ้น

ขณะเดียวกันเราสามารถเห็นขอบในของ pedicle ของ C<sub>2</sub> จะห่วงใส่สกรูได้ จึงมีโอกาสที่จะเกิดภัยตารายต่อ dural sac หรือ spinal cord ได้น้อย

## สรุป

กระดูกคนไทยมีขนาดเล็ก ไม่สามารถใส่สกรูขนาด 3.5 ม.ม. ตามที่ผู้คิดค้นวิธีการแนะนำได้เสมอไปทุกราย มีประมาณร้อยละ 4 ที่ต้องใช้ขนาดที่เล็กกว่า เพื่อความปลอดภัยควรตรวจด้วยคอมพิวเตอร์ทोไมกราฟฟี่ ก่อนทำการผ่าตัด นอกจากนี้แนวทางการใส่สกรูควรเรียงเข้าในเล็กน้อย

## กิตติกรรมประการ

ขอขอบคุณ รศ.นพ. สราวุฒิ แสงวิเชียร และเจ้าหน้าที่ภาควิชากายวิภาคศาสตร์ คณะแพทยศาสตร์ศิริราชพยาบาล ที่เอื้อเฟื้อในการจัดทำกระดูก และสถานที่ในการทำวิจัยครั้งนี้

## อ้างอิง

- Fielding JW, Hawkins RJ, Ratzan SA. Spine fusion for atlantoaxial instability. *J Bone Joint Surg (Am)* 1976 Apr; 58 A(3): 400 - 7
- Brooks AL, Jenkins EB. Atlanto-axial arthrodesis by the wedge compression method. *J Bone Joint Surg (Am)* 1978 Apr; 80 A (3): 279-84
- Hanson PB, Montesano PX, Sharkey NA, Raunschnning W. Anatomic and biomechanical assessment of transarticular screw fixation for atlantoaxial instability. *Spine* 1991 Oct; 16(10):1441- 5
- Montesano PX, Juach EC, Anderson PA, Benson DR, Hanson PB. Biomechanics of cervical spine internal fixation. *Spine* 1991 Mar; 16 (3 Suppl): S10 -S16
- Grob D, Crisco JJ 3d, Panjati MM, Wang P, Dvorak J. Biomechanical evaluation of four different posterior atlantoxial fixation techniques. *Spine* 1992 May; 17(5):480-90
- Dickman CA, Sonntag VKH, Papadopoulos SM, Hadley MN. The interspinous method of posterior atlantoaxial arthrodesis. *J Neurosurg* 1991 Feb; 74(2):190-8
- Stillerman CB, Wilson JA, Atlanto-axial stabilization with posterior transarticular screw fixation: technical description and report of 22 cases. *Neurosurgery* 1993 Jun; 32(6): 948-55
- Coyne TJ, Fehlings MG, Wallace MC, Bernstein M, Tator CH. C1-C2 posterior cervical fusion: long-term evaluation of results efficacy. *Neurosurgery* 1995 Oct; 37(4):688-63
- McGraw RW, Rusch RM. Atlanto-axial arthrodesis. *J Bone Joint Surg (Br)* 1973 Aug; 55B (3): 482- 9
- Griswold DM, Albright JA, Schiffman E, Johnson R, Southwick WO. Atlantoaxial fusion for instability . *J Bone Joint Surg (Am)* 1978 Apr; 60A (3): 285-92
- Holmes JC, Hall JE. Fusion for instability and potential instability in children and adolescents. *Orthop Clin North Am* 1987 Oct; 9(4): 923-43
- Roy L, Gibson DA. Cervical spine fusions in children. *Clin Orthop* 1970 Nov-Dec; 73: 146 - 51
- Sherk HH, Snyder B. Posterior fusions of the upper cervical spine : indications, techniques and prognosis. *Orthop Clin North Am* 1978 Oct; 9(4): 1091- 9
- Smith MD, Phillips WA, Hensinger RN. Complications of fusion to the upper cervical spine.

- Spine 1991 Jul; 16(7): 702-5
- May; 78(5): 702-8
15. While AA III, Panjabi MM. Clinical Biomechanics of the Spine , 2<sup>nd</sup> ed. Philadelphia, J.B. Lippincott, 1978; 66
16. Apuzzo MLJ, Heiden JS, Weiss MH, Ackerson TT, Harvey JP, Kurze T. Acute fractures of the odontoid process: an analysis of 45 cases. J Neurosurg 1978 Jan; 48(1): 85-91
17. Maiman DJ, Larson SJ. Management of odontoid fracture. Neurosurgery 1982 Oct; 11(4): 471-6
18. Glaser JA, Whitehill R, Stamp WG, Jane JA. Complications associated with the halo-vest : a review of 245 cases. J Neurosurg 1986 Dec; 65(6): 762- 9
19. Clark CR, Goetz DD, Menezes AH. Arthrodesis of the cervical spine in rheumatoid arthritis. J Bone Joint Surg (Am) 1989 Mar; 71A(3): 381-92
20. Geremia GK, Kim KS, Cerullo L, Calenoff L. Complications of sublaminar wiring. Surg Neurol 1985 Jun; 23(6): 629-35
21. Aldrich EF, Crow WN, Weber PB, Spagnolia TN. Use of MR imaging-compatible Halifax interlaminar clamps for posterior cervical fusion. J Neurosurg 1991 Feb; 74(2): 185-9
22. Holness RO, Huestis WS, Howes WJ, Langille RA. Posterior stabilization with an interlaminar clamp in cervical injuries: technical note and review of the long-term experience with the method. Neurosurgery 1984 Mar; 14(3): 318-22
23. Aldrich EF, Weber PB, Crow WN. Halifax interlaminar clamp for posterior cervical fusion: a long-term follow-up review J Neurosurg 1993
24. Statham P, O'Sullivan M, Russell T. The Halifax Interlaminar Clamp for posterior cervical fusion: initial experience in the United Kingdom. Neurosurgery 1993 May; 32(3): 396 - 9
25. Etter C, Coscia M, Jaberg H, Aebi M. Direct anterior fixation of dens fractures with a cannulated screw system. Spine 1991 Mar; 16(3 Suppl): S 25- S 32
26. Montesano PX, Anderson PA, Schlehr F, Thalgott JS, Lowrey G. Odontoid fractures treated by anterior odontoid screw fixation. Spine 1991 Mar; 16(3 Suppl): S33 - S37
27. Grob D, Jeanneret B, Aebi M, Markwalder TM. Atlantoaxial fusion with transarticular Grob D, Jeanneret B, Aebi M, Markwalder TM. Atlantoaxial fusion with transarticular screw fixation. J Bone Joint Surg (Br) 1991 Nov; 73 B(6): 972-6
28. Madawi AA, Casey ATH, Solanki GA, Tuite G, Veres R, Crockard HA. Radiological and anatomical evalution of the atlantoaxial transarticular screw fixation technique. J Neurosurg 1997Jun; 86(6): 961-8
29. Marcotte P, Dickman CA, Sonntag VKH, Karahalios DG, Drabier J. Posterior atlantoaxial facet screw fixation. J Neurosurg 1993 Aug; 79(2): 234 - 7
30. Sasso RC, Jeanneret B, Fischer K, Magerl F. Occipitocervical fusion with posterior plate and screw instrumentation : a long - term follow-up study. Spine 1994 Oct 15; 19(20): 2364 - 8